

RAIN-128算法的中间相遇攻击

杜小妮^{*①②} 郑亚楠^① 梁丽芳^① 李锴彬^③

^①(西北师范大学数学与统计学院 兰州 730070)

^②(西北师范大学密码技术与数据分析重点实验室 兰州 730070)

^③(西北师范大学计算机科学与工程学院 兰州 730070)

摘要: RAIN是一族SPN结构的轻量级分组密码算法, 该算法具有软硬件实现效率高、安全性强等特点。中间相遇攻击被广泛应用于分组密码算法的安全性分析中。该文通过分析RAIN-128的结构特性和截断差分特征, 利用差分枚举技术分别构造了4轮和6轮中间相遇区分器, 给出了8轮及10轮的中间相遇攻击。当攻击轮数为8轮时, 预计算阶段的时间复杂度为 2^{68} 次8轮RAIN-128加密, 存储复杂度为 2^{75} bit, 在线攻击阶段的时间复杂度为 2^{109} 次8轮加密, 数据复杂度是 2^{72} 个选择明文; 当攻击轮数为10轮时, 预计算阶段的时间复杂度为 2^{214} 次10轮加密, 存储复杂度为 2^{219} bit, 在线攻击阶段的时间复杂度为 2^{109} 次10轮加密, 数据复杂度是 2^{72} 个选择明文, 分析结果显示, RAIN-128可以抵抗中间相遇攻击, 并具有较高的安全冗余。

关键词: 分组密码; RAIN-128; 中间相遇攻击; 差分枚举技术

中图分类号: TN918.2; TP309.7

文献标识码: A

文章编号: 1009-5896(2024)01-0327-08

DOI: 10.11999/JEIT221593

Meet-in-the-middle Attack on RAIN-128

DU Xiaoni^{①②} ZHENG Yanan^① LIANG Lifang^① LI Kaibin^③

^①(College of Mathematics and Statistic, Northwest Normal University, Lanzhou 730070, China)

^②(Key Laboratory of Cryptography and Data Analytics, Northwest Normal University, Lanzhou 730070, China)

^③(College of Computer Science and Engineering, Northwest Normal University, Lanzhou 730070, China)

Abstract: RAIN is a lightweight block cipher with SPN structure, which not only has strong security, but also possesses high software and hardware implementation efficiency. Meet-in-the-middle attacks are widely used in the security analysis of block ciphers algorithms. In this paper, the meet-in-the-middle attack on RAIN is researched. By examining the structural characteristics and the properties of truncated differential of RAIN-128, both 4-round and 6-round meet-in-the-middle distinguishers are first constructed by using differential enumeration technique, and meet-in-the-middle attacks on 8-round and 10-round RAIN-128 are presented, respectively. For 8-round attack, in the preprocessing, the time complexity is 2^{68} 8-round encryptions, and the memory complexity is 2^{75} bit, in the online, the time complexity is 2^{109} 8-round encryptions, and the data complexity is 2^{72} chosen plaintexts. For 10-round attack, in the preprocessing, the time complexity is 2^{214} 10-round encryptions, and the memory complexity is 2^{219} bit, in the online, the time complexity is 2^{109} 10-round encryptions, and the data complexity is 2^{72} chosen plaintexts. The result shows that RAIN-128 can be against meet-in-the-middle attack and has high security redundancy.

Key words: Block ciphers; RAIN-128; Meet-in-the-middle attack; Differential enumeration technique

1 引言

近年来, 随着射频识别技术和无线传感器的发

展与应用, 为了保障这些资源受限设备中的信息安全, 功耗低和软硬件实现面积小的轻量级分组密码算法被广泛应用。然而轻量级分组密码算法追求低功耗与高效率并存, 这一矛盾会使算法的安全性无法得到保证, 因此对轻量级分组密码算法进行安全性分析是非常有必要的。

1977年Diffie和Hellman^[1]提出中间相遇攻击的思想, 并将其应用到DES^[2]的安全性分析中, 之后

收稿日期: 2023-01-04; 改回日期: 2023-04-12; 网络出版: 2023-04-17

*通信作者: 杜小妮 ymldxn@126.com

基金项目: 国家自然科学基金(62172337)

Foundation Item: The National Natural Science Foundation of China (62172337)

广泛应用于Feistel结构的密码算法分析中；随后在FSE 2008上Demirci和Selçuk^[3]利用文献^[1]的思想，构造了AES^[4]的4轮中间相遇区分器，首次提出了8轮AES-256的中间相遇攻击，是目前针对SPN结构分组密码最经典的中间相遇攻击，一般称之为Demirci-Selçuk中间相遇攻击(DS-MITM)；2010年，Dunkelman等人^[5]利用差分枚举技术、多重集技术和密钥桥技术对文献^[3]方法进行了改进，降低了复杂度；随后Derbez等人^[6]通过搜索得到了大量减轮AES-256的高效路径，进一步降低了复杂度。在ASIACRYPT 2018上，Shi等人^[7]首次将自动化搜索模型与算法的相关约束条件结合，实现了SKINNY^[8]的22轮中间相遇攻击；2020年，Chen等人^[9]利用密钥桥技术，使得密钥恢复攻击的复杂度有所降低；为了进一步降低算法的复杂度，肖钰汾等人^[10]在2021年对SKINNY的中间相遇区分器进行自动化搜索时，将搜索过程中一部分状态的猜测转换为密钥的猜测，同时结合密钥桥技术，降低了密钥的猜测量和区分器的存储复杂度。

截断差分分析^[11]是差分分析^[12]的一个变体。与经典差分分析考虑具体差分不同，截断差分只考虑差分的一部分性质，比如差分落在某个集合里，差分的某一位为0等。

RAIN是由曹梅春等人^[13]于2021年提出的一种面向软硬件和门限实现的轻量级分组密码算法，并额外的调柄输入形成可调分组密码，增加了算法的灵活性。具有类似结构的算法还包括QARMA^[14]，CRAFT^[15]等。设计者从差分分析^[12]、不可能差分分析^[16]、积分分析^[17]和不变子空间分析^[18]4个方面对算法进行了安全性评估，结果显示，算法具有较大的安全冗余，在PC，ARM平台和FPGA平台上都具有出色的实现性能。

本文首次对RAIN-128进行中间相遇攻击，表1给出了8轮和10轮攻击的复杂度对比，主要贡献如下：

(1) 通过分析算法的结构特性和截断差分特征，利用差分枚举技术找到了4轮区分器，实现了8轮中间相遇攻击，使得预计算阶段的时间复杂度为 P 次8轮加密，存储复杂度为 2^{75} bit。

(2) 类似地，利用(1)中的方法找到了6轮区分器，并实现了10轮中间相遇攻击。其中预计算阶段的时间复杂度为 2^{214} 次10轮加密，存储复杂度为 2^{219} bit。

(3) 利用算法的结构特性和等价密钥 $MC^{-1}(K)$ ，减少了在线攻击阶段状态字节的猜测量，使得在线攻击阶段的时间复杂度为 2^{109} 次8/10轮加密，数据复杂度是 2^{72} 个选择明文。

本文结构安排如下：第2节对本文用到的符号进行说明，并简要介绍RAIN算法和DS-MITM攻击；第3节对RAIN-128进行8轮中间相遇攻击；第4节给出RAIN-128的10轮中间相遇攻击；第5节总结全文。

2 预备知识

2.1 符号说明

P : 明文;

C : 密文;

K : 白化密钥;

MC: 列混合;

SC: 字节替换;

SR: 行移位;

ATK_i : 轮可调密钥;

V : $P \oplus K$;

$X_i^j[l]$: 在第 i 轮中，经过列混合(MC)后第 j 个状态的第 l 个单元格;

$Y_i^j[l]$: 在第 i 轮中，经过字节替换(SC)后第 j 个状态的第 l 个单元格;

$Z_i^j[l]$: 在第 i 轮中，经过行移位(SR)后第 j 个状态的第 l 个单元格;

$W_i^j[l]$: 在第 i 轮中，经过轮可调密钥加(ATK_i)后第 j 个状态的第 l 个单元格;

$\Delta X_i^0[l]$: $\{X_i^0[l] \oplus X_i^1[l], X_i^0[l] \oplus X_i^2[l], \dots, X_i^0[l] \oplus X_i^{255}[l]\}$;

$\Delta Y_i^0[l]$: $\{Y_i^0[l] \oplus Y_i^1[l], Y_i^0[l] \oplus Y_i^2[l], \dots, Y_i^0[l] \oplus Y_i^{255}[l]\}$;

$\Delta Z_i^0[l]$: $\{Z_i^0[l] \oplus Z_i^1[l], Z_i^0[l] \oplus Z_i^2[l], \dots, Z_i^0[l] \oplus Z_i^{255}[l]\}$;

$\Delta W_i^0[l]$: $\{W_i^0[l] \oplus W_i^1[l], W_i^0[l] \oplus W_i^2[l], \dots, W_i^0[l] \oplus W_i^{255}[l]\}$ 。

2.2 RAIN算法介绍

RAIN^[13]是一族轻量级分组密码算法，分组长度支持64 bit和128 bit，对应的密钥长度为64 bit和128 bit，迭代轮数为30轮和36轮，分别记为RAIN-64和RAIN-128。

算法的轮函数由列混合、字节替换、行移位和轮可调密钥加4种运算构成。 r 轮($r = 30/36$)算法的整体结构如图1所示，第 i 轮的轮函数结构如图2所示。将64/128 bit的明文、中间状态、密文统称为密码状态。令 $M = m_0 || m_1 || \dots || m_{15}$ 表示一个密码

表1 RAIN算法的8/10轮中间相遇攻击复杂度

轮数(r)	时间(预计算)	时间(在线)	数据	存储(bit)
8	2^{68}	2^{109}	2^{72}	2^{75}
10	2^{214}	2^{109}	2^{72}	2^{219}

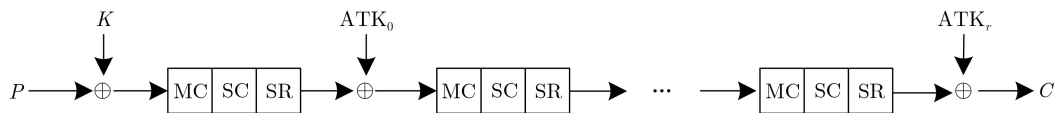


图1 RAIN算法的整体结构

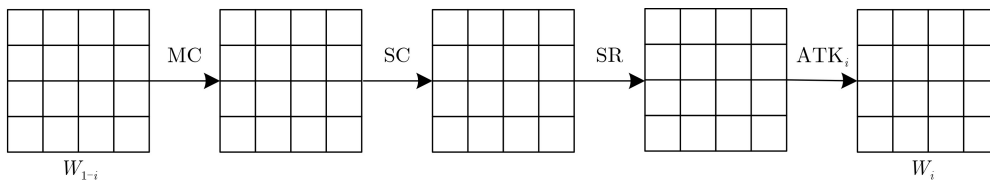


图2 RAIN算法的轮函数结构

状态, 对于 $1 \leq s \leq 15$, 当分组长度为64 bit时, m_s 的长度是4 bit, 即半字节; 当分组长度为128 bit时, m_s 的长度是8 bit, 即一个字节。按照行的顺序, 依次将密码状态输入到 4×4 的矩阵中, 其矩阵形式为

$$M = \begin{bmatrix} m_0 & m_1 & m_2 & m_3 \\ m_4 & m_5 & m_6 & m_7 \\ m_8 & m_9 & m_{10} & m_{11} \\ m_{12} & m_{13} & m_{14} & m_{15} \end{bmatrix}$$

RAIN-128的加密流程, 具体如下:

(1) 初始白化: 将明文 P 与白化密钥 K 按字节进行异或操作。

(2) 列混合: 密码状态左乘矩阵

$$U = \begin{bmatrix} 0 & 1 & 1 & 1 \\ 1 & 1 & 0 & 1 \\ 1 & 0 & 1 & 1 \\ 1 & 1 & 1 & 0 \end{bmatrix}$$

(3) 字节替换: 对密码状态中的16 Byte分别进行 S 盒替换, 采用8 bit的 S 盒。

(4) 行移位: 采用与AES相同的行移位变换, 即密码状态的第2~4行分别向左循环移位1 Byte, 2 Byte, 3 Byte。

(5) 轮可调密钥加: 将轮可调密钥与步骤(4)的输出进行异或操作。

2.3 DS-MITM攻击

在DS-MITM的分析过程中, 将 r 轮加密算法 E 分解为如图3所示的 E_0, E_1 和 E_2 , 即 $E = E_2 \circ E_1 \circ E_0$ 。其中 E_1 为加密算法的第 r_0 轮至第 $r_0 + r_1$ 轮, 且为构建的区分器。 E_0 为加密算法的第0轮至第 $r_0 - 1$ 轮, E_2 为加密算法的第 $r_0 + r_1 + 1$ 轮至第 $r - 1$ 轮。

定义1 (δ -集)^[3] 若RAIN-128的1 Byte遍历256个值, 其它15 Byte取固定值, 这样的结构被称为 δ -集。其中, 遍历256个值的字节为活跃字节, 其余为非活跃字节。

在图3中, 对于区分器 E_1 , 首先需确定 δ -集活跃字节的位置和区分器输出字节的位置; 其次根

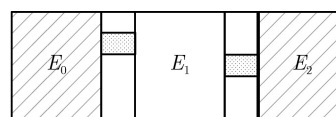


图3 DS-MITM模型

据 δ -集在第 r_0 轮至第 $r_0 + r_1$ 轮的差分传播路径, 以及输出字节在第 $r_0 + r_1$ 轮至第 r_0 轮的差分传播路径, 猜测两条路径在每一轮输入相交的状态值, 穷尽所有相交状态值, 在第 $r_0 + r_1$ 轮可得到不同的输出状态/差分集合, 将集合存储在哈希表中, 构成中间相遇区分器。对于 E_0 , 需确定在第 $r_0 + r_1$ 轮形成 δ -集的明文集, 并猜测部分轮密钥; 然后将明文集加密 r 轮生成密文, 猜测 E_2 的部分轮密钥, 对密文进行解密, 求得第 $r_0 + r_1$ 轮固定字节的输出状态/差分, 判断状态/差分值是否在区分器的哈希表中; 若存在, 则判断 E_0 和 E_2 中猜测的密钥为正确密钥, 否则为错误密钥, 再通过穷举搜索筛选出正确密钥。

3 RAIN-128的8轮中间相遇攻击

本节首先介绍RAIN-128的4轮中间相遇区分器, 其次利用该区分器实现了8轮攻击, 最后分析了复杂度。

3.1 4轮中间相遇区分器

性质1 (S 盒性质)^[6] 给定 S 盒的非零输入差分 Δ_{in} , 非零输出差分 Δ_{out} , 方程 $S(x) \oplus S(x \oplus \Delta_{in}) = \Delta_{out}$ 平均有一个解。

定理1 设 $u[i]$ 为活跃字节, $\{W_4^0[0], W_4^1[0], \dots, W_4^{255}[0]\}$ 是 $\{Z_0^0[0], Z_0^1[0], \dots, Z_0^{255}[0]\}$ 经过4轮RAIN-128加密的输出。若存在明文对 (Z_0^j, Z_0^i) ($0 \leq j \leq 255$) 满足图4的截断差分特征, 则输出差分 $\{W_4^0[0] \oplus W_4^1[0], W_4^0[0] \oplus W_4^2[0], \dots, W_4^0[0] \oplus W_4^{255}[0]\}$ 完全由以下11 Byte确定:

$$X_1^0[4, 8, 12], X_2^0[1, 2, 3, 9], X_3^0[5, 10, 15], X_4^0[0].$$

证明 (1) 由 $Z_0[0]$ 为活跃字节得, δ -集 $\{Z_0^0[0],$

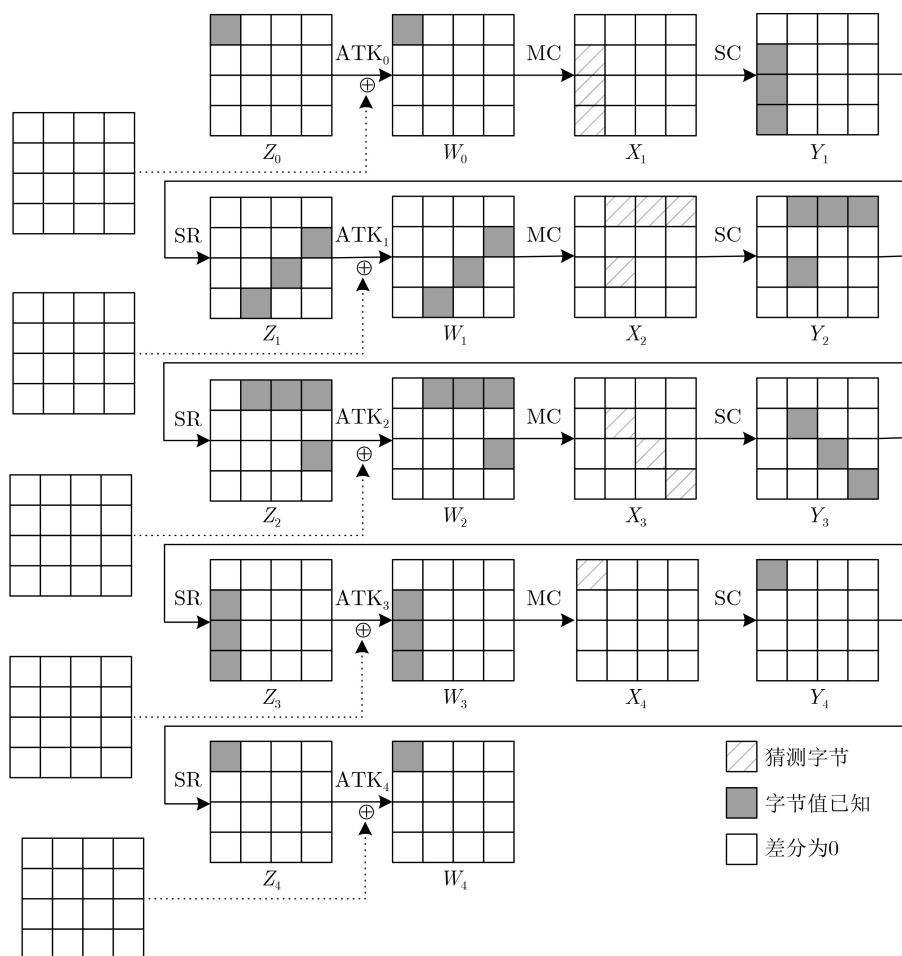


图4 4轮RAIN-128算法的中间相遇区分器

$Z_0^l[0], \dots, Z_0^{255}[0]$ 在第0字节活跃, 经过轮可调密钥加和列混合两个线性操作, 可计算出差分集合 $\{X_1^0 \oplus X_1^1, X_1^0 \oplus X_1^2, \dots, X_1^0 \oplus X_1^{255}\}$ 的第4, 8, 12 Byte的值。

(2) 假设 $X_1^0[4, 8, 12]$ 已知, 根据(1)得到的值, 可计算出 $\{X_1^0, X_1^1, \dots, X_1^{255}\}$ 的第4, 8, 12 Byte的值。经过S盒和行移位操作后, 计算出 $\{Z_1^0, Z_1^1, \dots, Z_1^{255}\}$ 的第7, 10, 13 Byte的值, 从而得到差分集合 $\Delta Z_1^0[l]$ ($l = 7, 10, 13$) 的值。由于轮可调密钥加和列混合是线性操作, 故可得差分集合 $\Delta X_2^0[l]$ ($l = 1, 2, 3, 9$) 的值。

(3) 假设 $X_2^0[1, 2, 3, 9]$ 已知, 根据(2)得到的值, 可计算出 $\{X_2^0, X_2^1, \dots, X_2^{255}\}$ 的第1, 2, 3, 9 Byte的值。经过S盒和行移位操作后, 可计算出 $\{Z_2^0, Z_2^1, \dots, Z_2^{255}\}$ 的第1, 2, 3, 11 Byte的值, 从而得到差分集合 $\Delta Z_2^0[l]$ ($l = 1, 2, 3, 11$) 的值。由于轮可调密钥加和列混合是线性操作, 故可得差分集合 $\Delta X_3^0[l]$ ($l = 5, 10, 15$) 的值。

(4) 假设 $X_3^0[5, 10, 15]$ 已知, 同理, 利用(3)得到的差分集合可计算输出差分 $\Delta X_4^0[0]$ 。

(5) 假设 $X_4^0[0]$ 已知, 同理, 利用(4)得到的差分集合可得输出差分 $\Delta W_4^0[0]$ 。证毕

为了进一步减少定理1中状态字节的猜测量, 我们使用差分枚举技术给出如下结论。

定理2 若参数满足定理1的条件, 且 $X_1^0[4] = 0$, 则差分集合 $\Delta W_4^0[0]$ 可分别由以下字节确定:

- (1) $X_1^0[8, 12], X_2^0[1, 2, 3, 9], X_3^0[5, 10, 15], X_4^0[0]$;
- (2) $\Delta Z_0^0[0], X_1^0[8, 12], Y_3^0[5, 10, 15], Y_4^0[0], \Delta Z_4^0[0]$ 。

证明 (1) 由于 δ -集 $\{Z_0^0[0], Z_0^1[0], \dots, Z_0^{255}[0]\}$ 根据 $Z_0^0[0]$ 的选择可以表示为 2^8 个差分集合, 故可通过确定 $Z_0^0[0]$ 使得 $X_1^0[4] = 0$ 来减少猜测的字节数, 再结合定理1的证明可得差分集合 $\Delta W_4^0[0]$ 由 $X_1^0[8, 12], X_2^0[1, 2, 3, 9], X_3^0[5, 10, 15], X_4^0[0]$ 这10 Byte决定。

(2) 已知 $\Delta Z_0^0[0]$, 可推得 $\Delta X_1^0[8, 12]$, 而 $\Delta Y_1^0[8, 12]$ 可由 $X_1^0[8, 12]$ 和 $\Delta X_1^0[8, 12]$ 推得; 根据得到的 $\Delta Y_1^0[8, 12]$, 可计算出 $\Delta X_2^0[1, 2, 3, 9]$; 已知 $\Delta Z_4^0[0]$, 可推得 $\Delta Y_4^0[0]$, 根据 $Y_4^0[0]$ 和 $\Delta Y_4^0[0]$ 可推得 $\Delta X_4^0[0]$, 同理可得 $\Delta Y_2^0[1, 2, 3, 9]$ 。

根据性质1, $X_2^0[1, 2, 3, 9]$ 可由 $\Delta X_2^0[l]$ 和 $\Delta Y_2^0[l]$ ($l = 1, 2, 3, 9$)推得。

综上所述, 差分集合 $\Delta W_4^0[0]$ 由以上8 Byte决定。
证毕

3.2 8轮RAIN-128的中间相遇攻击

8轮RAIN-128的中间相遇攻击由两个阶段组成: 预计算阶段和在线攻击阶段。攻击过程如图5所示。

预计算阶段: 由定理2, 差分集合 $\Delta W_4^0[0]$ 由8 Byte决定, 因此最多有 $2^{8 \times 8} = 2^{64}$ 种取值, 将 2^{64} 个差分集合存储在哈希表 T 中。

在线攻击阶段:

(1) 选择 $2^{8 \times 9} = 2^{72}$ 个明文, 这些明文满足在第0, 4, 6, 8, 9, 12, 15 Byte处差分为0, 其余9 Byte穷尽即可;

(2) 由于列混合与密钥加是线性操作, 故可交换这两个操作, 具体操作为:

(a) 用等价密钥 $MC^{-1}(K)$ 异或密码状态;

(b) 对(a)中的状态进行列混合(MC)操作。

记 $u[i] = MC^{-1}(K[i])$, 则只需猜测 $u[5], u[10], u[15]$ 和 $ATK_0[4, 8, 12]$, 筛选一对明文, 使得这对

明文在第2轮输入状态差分仅在第0 Byte非0, 取其中之一记为 P_0 ;

(3) 根据 δ -集的性质, 以及上述猜测的轮密钥和 P_0 , 可反解 P_1, P_2, \dots, P_{255} 。对 P_0, P_1, \dots, P_{255} 进行8轮加密, 得到相应密文;

(4) 猜测 $\Delta W_5^0[0]$ 和 $X_6^0[4, 8, 12]$ 。 $\Delta W_5^0[0]$ 可推出 $\Delta X_6^0[4, 8, 12]$, 结合 $X_6^0[4, 8, 12]$ 的值, 可计算出 $\{X_6^0[l], X_6^1[l], \dots, X_6^{255}[l]\}$ ($l = 4, 8, 12$), 进而得到 $\{Y_6^0[l], Y_6^1[l], \dots, Y_6^{255}[l]\}$ ($l = 4, 8, 12$), 即可得到 $\Delta Y_6^0[4, 8, 12]$, 经过行移位操作后, 得到 $\Delta Z_6^0[7, 10, 13]$ 。由于列混合和密钥加是线性操作, 故可得 $\Delta X_7^0[1, 2, 3, 5, 7, 9, 10, 14, 15]$ 。根据密文差分推得 $\Delta Y_7^0[1, 2, 3, 5, 7, 9, 10, 14, 15]$, 运用性质1可计算出 $Y_7^0[1, 2, 3, 5, 7, 9, 10, 14, 15]$, 最终推出 $ATK_7[1, 2, 3, 5, 7, 9, 10, 14, 15]$ 。

(5) 猜测 $ATK_6[7, 10, 13]$ 。

(6) 利用上述密钥值部分解密第(3)步得到的密文, 可得 $W_5[0]$, 计算差分集 $\Delta W_5^0[0]$ 。判断差分集是否在预计算阶段建立的哈希表 T 中。若在, 则猜测的密钥为正确密钥, 否则为错误密钥。

(7) 通过穷尽搜索的方式筛选出正确密钥。

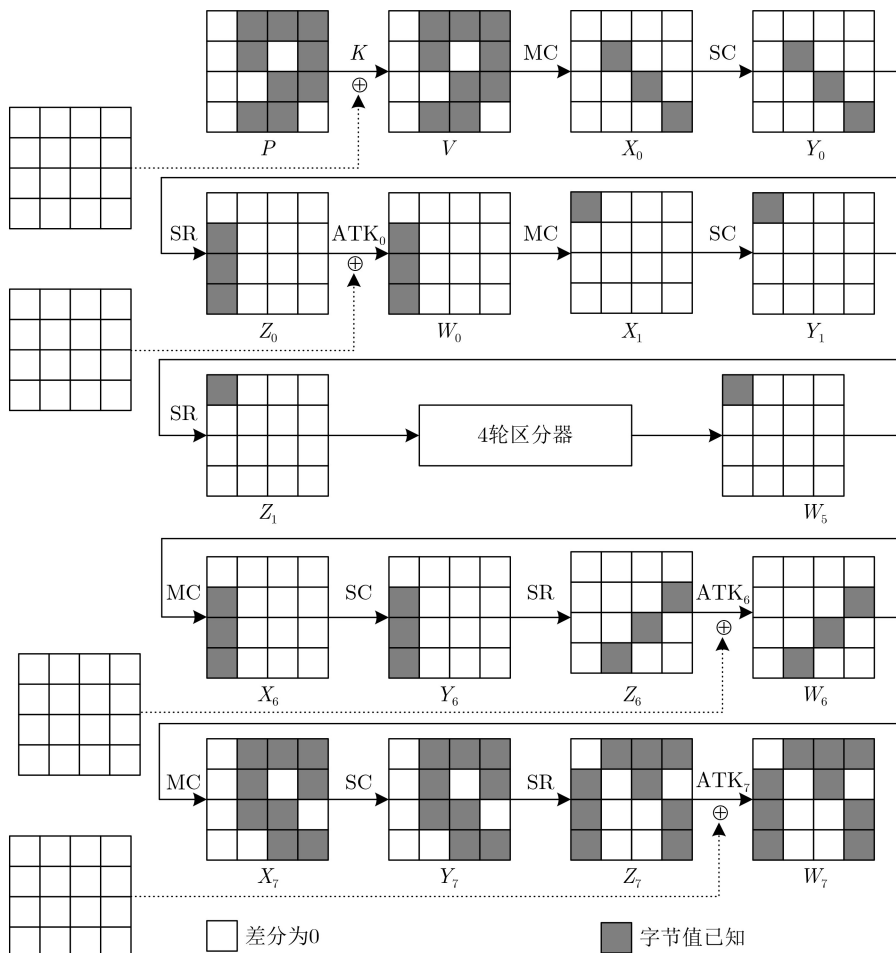


图5 8轮RAIN-128算法的中间相遇攻击

上述攻击步骤中, 需要猜测13 Byte, 得到18 Byte的密钥: $u[5], u[10], u[15], \text{ATK}_0[4, 8, 12], \text{ATK}_6[7, 10, 13], \text{ATK}_7[1, 2, 3, 5, 7, 9, 10, 14, 15]$ 。

3.3 攻击复杂度分析

预计算阶段需猜测8 Byte, 计算 $2^{64} \times 2^8 = 2^{72}$ 个差分值, 因此预计算的时间复杂度为 $2^{64} \times 2^8 \times 8 / (8 \times 16) = 2^{68}$ 次加密8轮RAIN-128, 存储复杂度为 $(2^8 - 1) \times 8 \times 2^{8 \times 8} \approx 2^{75}$ bit。

在线攻击阶段选择明文量为 2^{72} 个明文, 即数据复杂度为 2^{72} 个选择明文。在线攻击阶段需猜测

13 Byte, 因此在线攻击的时间复杂度为 $2^{104} \times 2^8 \times 16 / (8 \times 16) = 2^{109}$ 次加密8轮算法。

4 10轮RAIN-128的中间相遇攻击

本节实现了RAIN-128 的10轮中间相遇攻击, 因攻击过程与第3节类似, 故仅给出结论, 不再给出证明过程。

首先给出6轮中间相遇区分器的相关结论, 区分器如图6所示。

定理3 设 $Z_0[0]$ 为活跃字节, $\{W_6^0[0], W_6^1[0],$

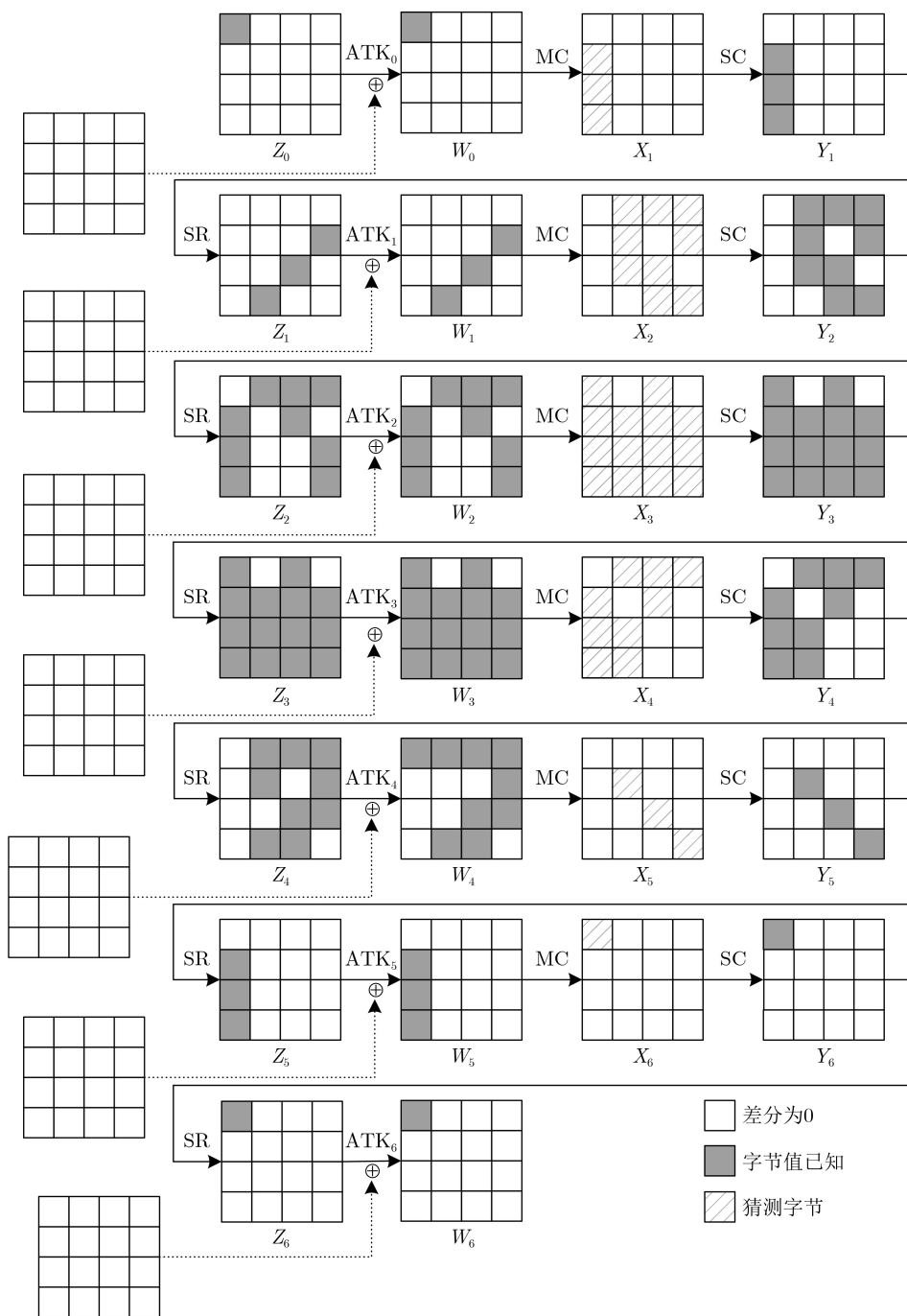


图6 6轮RAIN-128算法的中间相遇区分器

..., W_6^{255} 是 $\{Z_0^0[0], Z_0^1[0], \dots, Z_0^{255}[0]\}$ 经过6轮RAIN-128加密的输出, 若存在明文对 (Z_0^i, Z_0^j) ($0 \leq i < j \leq 255$)满足图6的截断差分特征, 则输出差分 $\Delta W_6^0[0]$ 由以下39 Byte确定:

$X_1[4, 8, 12], X_2[1, 2, 3, 5, 7, 9, 10, 14, 15], X_3[l]$
($0 \leq l \leq 15$ 且 $l \neq 1, 3$),

$X_4[1, 2, 3, 4, 6, 8, 9, 12, 13], X_5[5, 10, 15], X_6[0]$

定理4 若参数满足定理3的条件, 且 $X_1^0[4] = 0$, 则差分集合 $\Delta W_6^0[0]$ 可分别由以下字节确定:

(1) $X_1[8, 12], X_2[1, 2, 3, 5, 7, 9, 10, 14, 15], X_3[l]$ ($0 \leq l \leq 15$ 且 $l \neq 1, 3$), $X_4[1, 2, 3, 4, 6, 8, 9, 12, 13], X_5[5, 10, 15], X_6[0]$;

(2) $\Delta Z_0^0[0], X_1[8, 12], X_2[1, 2, 3, 5, 7, 9, 10, 14, 15], X_4[1, 2, 3, 4, 6, 8, 9, 12, 13], X_5[5, 10, 15], X_6[0], \Delta Z_6^0[0]$

10轮中间相遇攻击过程及复杂度分析如下。

预计算阶段: 由定理4, 预计算阶段差分集合 $\Delta W_6^0[0]$ 由26 Byte决定, 因此最多有 $2^{8 \times 26} = 2^{208}$ 种取值, 将 2^{208} 个差分集合存储在哈希表 T 中。此时时间复杂度为 $2^{208} \times 2^8 \times 26 / (10 \times 16) \approx 2^{214}$ 次加密10轮RAIN-128, 存储复杂度为 $(2^8 - 1) \times 8 \times 2^{8 \times 26} \approx 2^{219}$ bit。

在线攻击阶段: 需要猜测13 Byte。利用算法的结构特性和等价密钥 $MC^{-1}(K)$ 可推导出18 Byte的密钥: $u[5], u[10], u[15], ATK_0[4, 8, 12], ATK_8[7, 10, 13], ATK_9[1, 2, 3, 5, 7, 9, 10, 14, 15]$ 。利用所得密钥值对密文进行部分解密, 可得 $W_7[0]$, 计算差分集 $\Delta W_7^0[0]$ 。若差分集在预计算阶段建立的哈希表 T 中, 则猜测的密钥为正确密钥, 否则为错误密钥, 并通过穷尽搜索的方式筛选出正确密钥。因此10轮RAIN-128所需数据复杂度为 2^{72} 个选择明文, 时间复杂度为 $2^{104} \times 2^8 \times 16 / (10 \times 16) \approx 2^{109}$ 次加密10轮算法。

5 结束语

本文将DS-MITM模型与RAIN-128的一类截断差分特征相结合, 构造了RAIN-128的4轮和6轮区分器, 并利用该算法的结构特性和差分枚举技术, 实现了8轮和10轮的中间相遇攻击。用等价密钥 $MC^{-1}(K)$ 和算法的结构特性减少了在线攻击需猜测的密钥量, 降低了在线攻击阶段的时间复杂度。在攻击的过程中如何减少状态字节的猜测量仍需进一步研究。

参考文献

[1] DIFFIE W and HELLMAN M E. Special feature exhaustive

cryptanalysis of the NBS data encryption standard[J]. *Computer*, 1977, 10(6): 74–84. doi: [10.1109/C-M.1977.217750](https://doi.org/10.1109/C-M.1977.217750).

[2] National Institute of Standards and Technology. FIPS 46-3 Data encryption standard (DES)[S]. National Institute of Standards and Technology, 1999.

[3] DEMIRCI H and SELÇUK A A. A meet-in-the-middle attack on 8-round AES[C]. Proceedings of the 15th International Workshop on Fast Software Encryption, Lausanne, Switzerland, 2008: 116–126. doi: [10.1007/978-3-540-71039-4_7](https://doi.org/10.1007/978-3-540-71039-4_7).

[4] DAEMEN J and RIJMEN V. The Design of Rijndael: AES -The Advanced Encryption Standard[M]. Berlin: Springer, 2002: 137–139. doi: [10.1007/978-3-662-04722-4](https://doi.org/10.1007/978-3-662-04722-4).

[5] DUNKELMAN O, KELLER N, and SHAMIR A. Improved single-key attacks on 8-round AES-192 and AES-256[J]. *Journal of Cryptology*, 2015, 28(3): 397–422. doi: [10.1007/s00145-013-9159-4](https://doi.org/10.1007/s00145-013-9159-4).

[6] DERBEZ P and FOUQUE P A. Exhausting Demirci-Selçuk meet-in-the-middle attacks against reduced-round AES[C]. Proceedings of the 20th International Workshop on Fast Software Encryption, Singapore, 2013: 541–560. doi: [10.1007/978-3-662-43933-3_28](https://doi.org/10.1007/978-3-662-43933-3_28).

[7] SHI Danping, SUN Siwei, DERBEZ P, et al. Programming the Demirci-Selçuk meet-in-the-middle attack with constraints[C]. Proceedings of the 24th International Conference on the Theory and Application of Cryptology and Information Security, Brisbane, Australia, 2018: 3–34. doi: [10.1007/978-3-030-03329-3_1](https://doi.org/10.1007/978-3-030-03329-3_1).

[8] BEIERLE C, JEAN J, KÖLBL S, et al. The SKINNY family of block ciphers and its low-latency variant MANTIS[C]. Proceedings of the 36th Annual International Cryptology Conference, Santa Barbara, USA, 2016: 123–153. doi: [10.1007/978-3-662-53008-5_5](https://doi.org/10.1007/978-3-662-53008-5_5).

[9] CHEN Qiu, SHI Danping, SUN Siwei, et al. Automatic Demirci-Selçuk meet-in-the-middle attack on SKINNY with key-bridging[C]. Proceedings of the 21st International Conference on Information and Communications Security, Beijing, China, 2020: 233–247. doi: [10.1007/978-3-030-41579-2_14](https://doi.org/10.1007/978-3-030-41579-2_14).

[10] 肖钰汾, 田甜. 减轮SKINNY-128-384算法的中间相遇攻击[J]. 密码学报, 2021, 8(2): 338–351. doi: [10.13868/j.cnki.jcr.000442](https://doi.org/10.13868/j.cnki.jcr.000442).

XIAO Yufen and TIAN Tian. Meet-in-the-Middle attack on round-reduced SKINNY-128-384[J]. *Journal of Cryptologic Research*, 2021, 8(2): 338–351. doi: [10.13868/j.cnki.jcr.000442](https://doi.org/10.13868/j.cnki.jcr.000442).

[11] SUGITA M, KOBARA K, and IMAI H. Security of reduced version of the block cipher Camellia against truncated and

- impossible differential cryptanalysis[C]. Proceedings of the 7th International Conference on the Theory and Application of Cryptology and Information Security, Gold Coast, Australia, 2001: 193–207. doi: [10.1007/3-540-45682-1_12](https://doi.org/10.1007/3-540-45682-1_12).
- [12] BIHAM E. Cryptanalysis of Patarin's 2-round public key system with S boxes (2R)[C]. Proceedings of 2000 International Conference on the Theory and Applications of Cryptographic Techniques, Bruges, Belgium, 2000: 408–416. doi: [10.1007/3-540-45539-6_28](https://doi.org/10.1007/3-540-45539-6_28).
- [13] 曹梅春, 张文英, 陈彦琴, 等. RAIN: 一种面向硬件和门限实现的轻量分组密码算法[J]. 计算机研究与发展, 2021, 58(5): 1045–1055. doi: [10.7544/issn1000-1239.2021.20200933](https://doi.org/10.7544/issn1000-1239.2021.20200933).
CAO Meichun, ZHANG Wenying, CHEN Yanqin, *et al.* RAIN: A lightweight block cipher towards software, hardware and threshold implementations[J]. *Journal of Computer Research and Development*, 2021, 58(5): 1045–1055. doi: [10.7544/issn1000-1239.2021.20200933](https://doi.org/10.7544/issn1000-1239.2021.20200933).
- [14] AVANZI R. The QARMA block cipher family. Almost MDS matrices over rings with Zero Divisors, Nearly Symmetric Even-mansour constructions with Non-involutory central rounds, and search heuristics for low-latency S-Boxes[J]. *IACR Transactions on Symmetric Cryptology*, 2017, 2017(1): 4–44. doi: [10.13154/tosc.v2017.i1.4-44](https://doi.org/10.13154/tosc.v2017.i1.4-44).
- [15] BEIERLE C, LEANDER G, MORADI A, *et al.* CRAFT: Lightweight tweakable block cipher with efficient protection against DFA attacks[J]. *IACR Transactions on Symmetric Cryptology*, 2019, 2019(1): 5–45. doi: [10.13154/tosc.v2019.i1.5-45](https://doi.org/10.13154/tosc.v2019.i1.5-45).
- [16] 蒋梓龙, 金晨辉. Saturnin算法的不可能差分分析[J]. 通信学报, 2022, 43(3): 53–62. doi: [10.11959/j.issn.1000-436x.2022045](https://doi.org/10.11959/j.issn.1000-436x.2022045).
JIANG Zilong and JIN Chenhui. Impossible differential cryptanalysis of Saturnin algorithm[J]. *Journal on Communications*, 2022, 43(3): 53–62. doi: [10.11959/j.issn.1000-436x.2022045](https://doi.org/10.11959/j.issn.1000-436x.2022045).
- [17] 叶涛, 韦永壮, 李灵琛. ACE密码算法的积分分析[J]. 电子与信息学报, 2021, 43(4): 908–914. doi: [10.11999/JEIT200234](https://doi.org/10.11999/JEIT200234).
YE Tao, WEI Yongzhuang, and LI Lingchen. Integral cryptanalysis of ACE encryption algorithm[J]. *Journal of Electronics & Information Technology*, 2021, 43(4): 908–914. doi: [10.11999/JEIT200234](https://doi.org/10.11999/JEIT200234).
- [18] LEANDER G, ABDELRAHEEM M A, ALKHZAIMI H, *et al.* A cryptanalysis of PRINTCIPHER: The invariant subspace attack[C]. Proceedings of the 31st Annual Cryptology Conference, Santa Barbara, USA, 2011: 206–221. doi: [10.1007/978-3-642-22792-9_12](https://doi.org/10.1007/978-3-642-22792-9_12).
- 杜小妮: 女, 博士后, 教授, 研究方向为应用密码学.
郑亚楠: 女, 硕士生, 研究方向为应用密码学.
梁丽芳: 女, 硕士生, 研究方向为应用密码学.
李锴彬: 男, 硕士生, 研究方向为分组密码.

责任编辑: 陈倩